

КРАТКИЕ СООБЩЕНИЯ

УДК 548.537

© 1991

**МАГНИТНЫЕ ВОЗБУЖДЕНИЯ
В ВЪ СОКОТЕМПЕРАТУРНЫХ СВЕРХПРОВОДНИКАХ**

A. A. Голуб, B. B. Кабанов, O. Ю. Маштаков

Открытые недавно [1] оксидные соединения, являющиеся сверхпроводниками с высокой T_c , обладают целым рядом интересных физических свойств, в частности антиферромагнитным упорядочением [2] в нормальном состоянии, которое резко исчезает при появлении дырок в плоскостях CuO_2 . К настоящему времени эксперимент не дает достаточно четкой идентификации заполняемых дырками орбиталей (либо антисвязывающие $3d_{x^2-y^2}$ - p_{xy} -орбитали, либо p_z (p_π)-орбитали в плоскости xy). В этой работе на основе построения вариационной волновой функции изучаются различные типы двухчастичных возбуждений в ВТСП в зависимости от величины обменного взаимодействия J . При этом предполагается, что движение дырок связано с p_z -состояниями.

Редуцированный гамильтониан, описывающий модель Эмери для p - и d -состояний, приводится в работах [3, 4] и с учетом разбиения на две подрешетки имеет вид [5]

$$H = H_t + H_J, \quad H_J = J \sum_{j \in A, \gamma} S_j S_{j+2\hat{x}-\tau_\gamma},$$

$$H_t = 2t \sum_{j \in A} a_{j\sigma}^{+(1)} (1 + 2S_j \sigma) a_{j\sigma}^{(1)} + \frac{t}{2} \sum_{\gamma\gamma' \alpha\alpha'} \sum_{j \in A} a_{j\sigma}^{+(\alpha)} (1 + 2S_{j+2\hat{x}-\tau_\gamma} \sigma) \times$$

$$\times a_{j+\tau_\gamma, -\tau_{\gamma'} \sigma}^{(\alpha')} B_{\gamma\alpha} B_{\gamma'\alpha'}, \quad (1)$$

где

$$a_{j\sigma}^{+(\delta)} = \sum_\alpha B_{\alpha\delta} \hat{p}_{j\sigma}^{+(\alpha)},$$

$$\hat{p}_{j\sigma}^+ = (p_{j+\hat{y}}^+, p_{j-\hat{x}}^+, p_{j-\hat{y}}^+, p_{j+\hat{x}}^+),$$

$$\tau_1 = 2\hat{x} - 2\hat{y}, \quad \tau_2 = 4\hat{x}, \quad \tau_3 = 2\hat{x} + 2\hat{y}, \quad \tau_4 = 0,$$

σ_α — матрицы Паули, $p_{i\sigma}^+$ — операторы рождения дырок в оболочке кислорода, S_j — операторы спина на ионах меди. Матрица B , составленная из базисов неприводимых представлений группы, выписана в работе [5]. Для анализа биполярного состояния дырок выбираем пробную функцию с фиксированным полным спином $[H, S_{\text{tot}}] = 0$. Отметим, что феноменологически возбуждения такого типа рассматривались в [6]. Выбранная функция соответствует триплету и имеет следующий вид (оба спина направлены вверх):

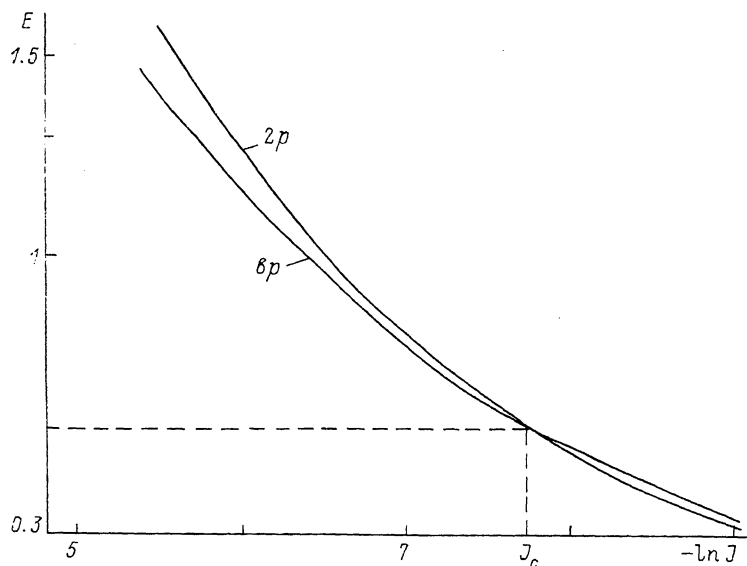
$$|\psi\rangle = \frac{\chi_0}{N_R} \sum_{j \leq N_R} f(\tau) \varphi_{j-\tau/2}^+ \varphi_{j+\tau/2}^+ \exp \left[-\frac{\alpha\pi}{N_R} \left(|\mathbf{j}|^2 + \frac{\tau^2}{4} \right) \right] |G\rangle,$$

$$\varphi_i^+ = a_{i\uparrow}^{+(1)} \sqrt{1-z} - \sqrt{\frac{z}{2}} a_{i\downarrow}^{+(1)} b_i^+ - \frac{1}{2} \sqrt{\frac{z}{2}} \sum_{\gamma\alpha} B_{\gamma\alpha} a_{i\downarrow}^{+(\alpha)} b_{i+2\hat{x}-\tau_\gamma}^+,$$

$$f(\tau) = -f(-\tau), \quad f(\tau_1)f(\tau_2) = \frac{\tau_1\tau_2}{|\tau_1||\tau_2|}, \quad b_i^+ = S_i^+,$$

$$b_{i+2\hat{x}}^+ = \begin{cases} S_{i+2\hat{x}}^+, & i \leq N_R, \\ S_{i+2\hat{x}}^-, & i > N_R, \end{cases} \quad (2)$$

$z=0.46$; N_R — число спинов внутри круга радиуса $R=\sqrt{N_R/\pi}$ является, как и α , вариационным параметром модели, согласно которой возбуждение, сформированное двумя дырками, движется по ферромагнитному фону в круге радиуса R , окруженном неелевским вакуумом. Вектор $|G\rangle$ описывает выбранный здесь вакуум для спинов меди — ферромагнитный внутри круга радиуса R и антиферромагнитный вне его.



Зависимость полной энергии от обменной константы J (все величины выражены в единицах t , начало отсчета энергии -10.36).

Для анализа синглетного связанныго состояния двух дырочных возбуждений, которые движутся по антиферромагнитному фону медной решетки, пробную функцию выберем в виде

$$|\Psi_a\rangle = \frac{\tilde{\chi}_0}{\sqrt{2N}} \sum_{i \in A, \tau} F(\tau) \varphi_{i\uparrow}^+ \varphi_{i+\tau\downarrow}^+ |G\rangle,$$

$$\varphi_{i\uparrow}^+ = \tilde{z}_1 a_{i\uparrow}^{+(1)} + \tilde{z}_2 a_{i\downarrow}^{+(1)} b_i^+ + \xi \sum_{\gamma\gamma'\alpha} B_{\gamma\alpha} a_{i\uparrow}^{+(\alpha)} b_{i+\tau_\gamma, -\tau_\gamma}^+ b_{i+2\hat{x}-\tau_\gamma}^+,$$

$$\varphi_{i\downarrow}^+ = \tilde{z}_1 \sum_{\gamma\alpha} B_{\gamma\alpha} a_{i+\tau_\gamma\downarrow}^{+(\alpha)} + \tilde{z}_2 \sum_{\gamma\alpha} B_{\gamma\alpha} a_{i+\tau_\gamma\uparrow}^{+(\alpha)} b_{i+2\hat{x}}^+ + \xi \sum_{\gamma\gamma'\alpha} B_{\gamma\alpha} a_{i+\tau_\gamma\downarrow}^{+(\alpha)} b_{i+2\hat{x}-\tau_\gamma, +\tau_\gamma}^+ b_{i+\tau_\gamma}^+, \quad (3)$$

где $\tilde{z}_1^2 + \tilde{z}_2^2 + 16\xi^2 = 1$, $F(\tau)$ — неизвестная функция (мы полагаем ее аксиально-симметричной).

Вычисления с использованием пробной функции (2) и аналогичной пробной функции для двух раздельных поляронов приводят к следующим выражениям:

$$\begin{aligned} E_{bp} = & -10.36 + 6.05 \frac{\alpha \exp(-\alpha)}{1 - \exp(-\alpha)} \frac{1}{\sqrt{N_R}} + \\ & + \frac{\alpha(1 - \exp(-\alpha))}{N_R} \left(2.87 + 0.71\pi \ln \frac{N_R}{\alpha} \right) + 4N_R J, \end{aligned}$$

$$E_{2p} = -10.36 + 7.98 \frac{\alpha \exp(-\alpha)}{1 - \exp(-\alpha)} \frac{1}{\sqrt{N_R}} + 4.43 \frac{\alpha(1 - \exp(-\alpha))}{N_R} + 8N_R J. \quad (4)$$

Минимизация выражений (4) по α и N_R показывает, что область существования спинового биполярона, как это следует из рисунка, определяется условием $\bar{J} = J/t > \bar{J}_c = 4.42 \cdot 10^{-4}$. Следует отметить, что в пределе $J \rightarrow 0$ наиболее выгодным является делокализованное решение ($\alpha \rightarrow 0$, $f(\tau) \sim 1/\sqrt{N_R}$).

Для синглета с выбранной функцией $F(\tau) \sim \exp [-(\tau - \tau_0)^2/2\Delta^2]$ анализ проводился численно при малых $\bar{J} < 0.3$. Он показал, что наиболее выгодным является случай $\tau_0 = 0$ (т. е. обе дырки находятся на атомах кислорода, окружающих узел медной подрешетки). С уменьшением J радиус этого состояния возрастает. Мы получили, что при $\bar{J} < \bar{J}_c = 0.24$ связанного состояния не возникает, что, по-видимому, обусловлено выбором пробной функции в двухмагнитном приближении, в то время как при $J \rightarrow 0$ может возбуждаться много магнонов [4].

Таким образом, в работе показано, что в рамках изложенной модели возможно образование триплетных возбуждений полярона типа (биполярона), которые при уменьшении константы обмена J распадаются на отдельные поляроны. В области достаточно больших J образуется синглетное связанное состояние с волновой функцией вида (3). Радиус локализации состояния возрастает с уменьшением J .

Авторы благодарны Л. И. Глазману и А. С. Александрову за ценные критические замечания.

Список литературы

- [1] Bednorz J. G., Muller K. A. // Z. Phys. B—Condensed Matter. 1986. V. 64. N 2. P. 189—193.
- [2] Vaknin D. et al. // Phys. Rev. Lett. 1987. V. 58. N 26. P. 2802—2805.
- [3] Zaanen J., Oles A. M. // Phys. Rev. B. 1988. V. 37. N 16. P. 9423—9438.
- [4] Глазман Л. И., Иоселевич А. С. // Письма в ЖЭТФ. 1988. Т. 47. № 9. С. 464—467.
- [5] Голуб А. А., Маштаков О. Ю., Котруцэ В. И. // ЖЭТФ. 1989. Т. 96. № 6. С. 2082—2087.
- [6] Liu L. // Solid State Commun. 1988. V. 68. N 2. P. 269—270.

Отдел энергетической кибернетики
АН МССР
Кишинев

Поступило в Редакцию
6 апреля 1990 г.

УДК 537.812.8

© Физика твердого тела, том 33, № 6, 1991
Solid State Physics, vol. 33, N 6, 1991

АВТОМОДЕЛЬНЫЙ РЕЖИМ ЭВОЛЮЦИИ ТЕРМОМАГНИТНЫХ ВОЗМУЩЕНИЙ В ВЫСОКОТЕМПЕРАТУРНЫХ СВЕРХПРОВОДНИКАХ

Н. А. Тайланов, С. Кучкаров

Вопрос о динамике развития тепловых и электромагнитных возмущений в сверхпроводниках, охлаждаемых при низких (4.2 К) температурах, неоднократно рассматривался в литературе [1]. В настоящее время в связи с открытием высокотемпературной сверхпроводимости приобрело актуальность изучение динамики развития термомагнитных возмущений сверхпроводящего состояния при азотных температурах.

В данной работе исследован автомодельный режим эволюции тепловых и электромагнитных возмущений в высокотемпературных сверхпроводниках.

Эволюция во времени тепловых T и электромагнитных E возмущений в сверхпроводящем состоянии определяется уравнением теплопроводности Максвелла